

04;07

©1993

ЧАСТОТНЫЕ ХАРАКТЕРИСТИКИ ВЧ ЕМКОСТНЫХ РАЗРЯДОВ, ИСПОЛЬЗУЕМЫХ ДЛЯ НАКАЧКИ ГАЗОВЫХ ЛАЗЕРОВ

Н.А.Яценко

1. Известно [1–10], что параметры ВЧ емкостного разряда (ВЧЕР) зависят от частоты ВЧ поля f . Данный факт имеет важное значение для многочисленных приложений ВЧЕР в лазерной технике [3,4,6,10], современной плазменной технологии [7,8] и др. Однако имеющиеся в литературе попытки [3,6] объяснить наблюдаемые на опыте эффекты, например, увеличение активной проводимости плазмы ВЧЕР $\sigma_{пл}$ с ростом f , рассматривая лишь явления, происходящие в плазменном столбе, оказались неудачными. Действительно, в диапазоне частот ВЧ поля $f = (1–100)$ МГц и давлений газа $p = (1–100)$ Тор — типичных для лазерной техники — активная проводимость плазменного столба в ВЧ поле практически не должна зависеть от частоты $\omega = 2\pi f$ в соответствии с известным выражением

$$\sigma_{пл} = \frac{en_e\nu_m}{m(\omega^2 + \nu_m^2)}, \quad (1)$$

т.к. в рассматриваемой области ω и p — частота столкновений электронов плазмы с нейтральными частицами $\nu_m \gg \omega$, и поэтому $\sigma_{пл} = \frac{en_e}{m\nu_m}$, где e , m — заряд и масса электрона.

В настоящей работе предлагается иной подход к проблеме частотных характеристик объемной плазмы ВЧЕР, являющейся активной средой газового лазера. В основе его лежит учет влияния приэлектродных слоев пространственного заряда (ПСПЗ), всегда возникающих в стационарном ВЧЕР (в том числе и среднего давления [1,2]) на характеристики плазменного столба и обратное воздействие [11]. В этом случае, как показано ниже, не возникает принципиальных затруднений в интерпретации наблюдавшихся на опыте особенностей ВЧЕР, а свойства активной среды лазера с ВЧ накачкой легко прогнозируются.

2. Эксперименты проводились с ВЧ емкостным разрядом в диапазоне частот и интервале давлений, упомянутых выше. Мощность ВЧ источника достигала нескольких киловатт. Исследовалась только слаботочная форма самостоятельного ВЧЕР, т.е. ВЧ емкостной разряд, ПСПЗ которого

не пробиты [2,5,9,11]. Электродная система была образована двумя плоскими металлическими пластинаами, размещенными на расстоянии h друг от друга. Ограничения на величину h определялись областью существования слаботочной формы ВЧЕР: сверху — пробоем ПСПЗ при выполнении на характерной толщине слоев $d_{\text{сл}} = \frac{v_{\text{др}}}{\omega}$ критерия Таунсенда [2,11] ($v_{\text{др}}$ — скорость дрейфа электронов в плазме), а снизу — условием $h > 2d_{\text{сл}}$ [12].

Поскольку целью работы являлось изучение частотных характеристик ВЧЕР, а параметры слаботочной формы зависят еще и от величины напряжения на электродах $U_{\text{вч}}$, то для определенности исследовался нормальный режим горения разряда, реализуемый на разных частотах. В этом случае можно однозначно интерпретировать результаты опытов.

Заметим, что в нормальном режиме горения, если сила тока в цепи разряда $I_{\text{вч}} < j_{\text{н1}} S_{\text{эл}}$, разряд сжимается в попечном направлении до тех пор, пока его площадь сечения S не удовлетворит равенству $I_{\text{вч}} = j_{\text{н1}} S$. Здесь $j_{\text{н1}}(\omega, p, h)$ — нормальная (минимальная) плотность разрядного тока [2,11], $S_{\text{эл}}$ — площадь электрода.

3. В процессе работы определялись в зависимости от частоты ВЧ поля величины нормального (минимального) ВЧ напряжения на электродах $U_{\text{вч}} = U_{\min}(f)$ и соответствующие значения проводимости плазмы $\sigma_{\text{пл}}(f)$. Типичные данные приведены на рис. 1. Измерения выполнялись по методикам [12]. Одновременно методом активного зондирования ВЧЕР [12] находилась и активная проводимость ПСПЗ $\sigma_{\text{сл}}$ на разных частотах. Найдено, что с ростом f увеличивалась и $\sigma_{\text{сл}}$. Однако во всем исследованном диапазоне частот отношение $\frac{\sigma_{\text{пл}}}{\sigma_{\text{сл}}} > 10^2$.

Данный факт важен, так как позволяет пренебречь активной составляющей проводимости ПСПЗ по сравнению с емкостной и из уравнения непрерывности разрядного тока получить выражение:

$$\sigma_{\text{пл}}(\omega) = \epsilon \epsilon_0 \omega \frac{E_{\text{сл}}}{E_{\text{пл}}}, \quad (1)$$

где $E_{\text{пл}}$, $E_{\text{сл}}$ — напряженности электрического поля в плазме и в слое соответственно, $\epsilon_0 = 8.85 \cdot 10^{-14} \Phi/\text{см}$, ϵ — относительная диэлектрическая проницаемость ПСПЗ, $\epsilon \approx 1$. Значение $E_{\text{пл}}$ в (1) определяется ионизационным балансом в плазме и при $\omega \ll \nu_m$ от частоты практически не зависит. $E_{\text{сл}}$ в нормальном режиме горения можно оценить, пользуясь представлениями о механизме эффекта нормальной

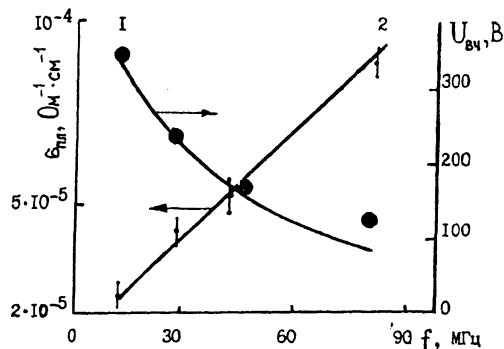


Рис. 1. 1 — зависимость нормального значения ВЧ напряжения на электродах в слаботочном ВЧЕР от частоты ВЧ поля. Разряд в CO_2 при $p = 30 \text{ Torr}$, $h = 9 \text{ mm}$; 2 — связь проводимости плазменного столба слаботочного ВЧЕР в нормальном режиме с частотой ВЧ поля. Разряд в воздухе при $p = 10 \text{ Torr}$, $h = 10 \text{ mm}$.

плотности тока в слаботочном ВЧЕР [11]. Согласно [11],

$$j_{\text{в1}} = \left(\frac{\epsilon \epsilon_0 \omega^2 C p d_{\text{пл}}}{2 v_{\text{др}}} \right)^{\frac{1}{\alpha+1}}, \quad (2)$$

где $d_{\text{пл}} = h - 2d_{\text{сл}}$, C , α — величины, определяемые составом газа, причем для исследованных газов $\alpha \approx 1$. Считая, что в ПСПЗ $j_{\text{в1}}$ переносится током смещения, получим для нормального режима горения

$$E_{\text{сл}} = \left(\frac{C p d_{\text{пл}}}{2 \epsilon \epsilon_0 v_{\text{др}}} \right)^{1/2} \quad (3)$$

Из (3) видно, что при фиксированных условиях $E_{\text{сл}}$ также практически не зависит от частоты поля.

Таким образом, с учетом (3) и в соответствии с (1), $\sigma_{\text{пл}}(\omega)$ можно аппроксимировать при прочих одинаковых условиях линейной функцией, что совпадает с экспериментальными данными (рис. 1).

С учетом слоевой структуры ВЧ разряда и формулы (2) выражение для ВЧ напряжения на электродах в нормальном режиме горения слаботочного ВЧЕР можно записать в виде

$$U_{\text{min}} = \frac{1}{\omega} \left(\frac{4 C v_{\text{др}}}{\epsilon \epsilon_0} p d_{\text{пл}} \right)^{1/2}. \quad (4)$$

Из (4) видно, что чем выше частота ВЧ поля, тем меньшее ВЧ напряжение необходимо для поддержания стаци-

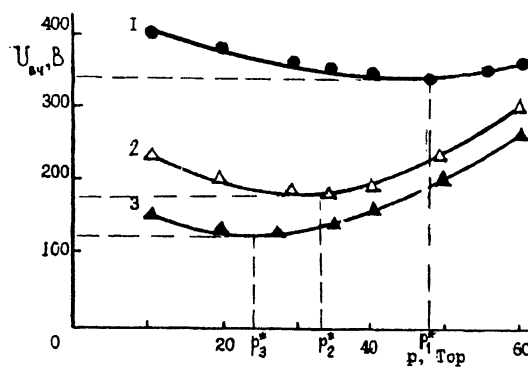


Рис. 2. Зависимость ВЧ напряжения на электродах в слаботочном ВЧ разряде от давления лазерной смеси на CO_2 при $f = 40$ (1), 81 (2) и 100 МГц (3), и удельном энерговкладе $w = 20 \text{ Вт}/\text{см}^3$. p_1^* , p_2^* , p_3^* — величины давлений, при которых $U_{\text{вч}}(p)$ достигает минимума при $f = 40$, 81 и 100 МГц соответственно.

нарного ВЧ разряда в режиме нормальной плотности тока. Обнаруживается и удовлетворительное согласие расчета по формуле (4) с экспериментом (рис. 1). Более того, аналогично можно получить и выражение для величины $\varepsilon = E/p$ в плазменном столбе, которое показывает, что ε действительно уменьшается с ростом f при прочих одинаковых условиях [3,6]. Однако этот эффект связан с “падающим” характером $U_{\text{пл}}(j)$ [11], но не с отличием элементарных процессов в плазме ВЧЕР и разряда постоянного тока.

Чтобы убедиться в этом, проведены специальные опыты в разрядной камере, образованной двумя кварцевыми пластинами толщиной $\delta = 1 \text{ см}$. На одну из сторон каждой пластины напылялось металлическое покрытие. Получено, что $j_{\text{н1}}$ и рассеиваемая в разряде мощность, измеренная калориметрически, меньше в том случае, когда напыленные поверхности пластин расположены с наружной стороны камеры, хотя в обоих случаях $\omega = \text{const}$. Понятно, что если бы параметры ВЧЕР целиком определялись плазменным столбом, то наличие диэлектрического покрытия не оказало бы влияния на характеристики плазмы, и они зависели бы только от частоты. По существу, в описанных опытах, когда напыленные поверхности располагались с наружной стороны, искусственным путем был увеличен импеданс ПСПЗ, и тем самым уменьшено $j_{\text{н1}}$.

На основе реальной слоевой структуры слаботочного ВЧЕР, можно понять и другие особенности в его поведении, например, немонотонную зависимость $U_{\text{вч}}(p)$ при фиксированном энерговкладе w (см. рис. 2). Действительно, с учетом того что $\sigma_{\text{сл}} \ll \sigma_{\text{пл}}$, $U_{\text{вч}}(p)$ может быть представлено

в виде выражения:

$$U_{\text{вч}}(p) = \left[(\varepsilon d_{\text{пл}})^2 p^2 + \left(\frac{2wv_{\text{др}}}{\varepsilon \varepsilon_0 \omega^2 \varepsilon} \right)^2 \frac{1}{p^2} \right]^{1/2}, \quad (5)$$

которое имеет минимум по давлению.

Представленный в работе экспериментальный материал и его анализ показывают важность учета реальной слоевой структуры ВЧЕР для понимания его частотных характеристик и эффективного использования в технике газовых лазеров и других приложениях.

Список литературы

- [1] Кузовников А.А., Ковалевский В.Л., Савинов В.П. // Вестн. МГУ. Сер. 3. Физика. Астрономия. 1983. Т. 24. В. 4. С. 28–32.
- [2] Яценко Н.А. // ЖТФ. 1981. Т. 51. В. 6. С. 1195–1204.
- [3] He D., Hall D.R. // IEEE J. of Quant. Electron. 1984. V. QE-20. P. 23–28.
- [4] Hoffmann P. // SPIE. 1986. V. 650. P. 23–28.
- [5] Райзер Ю.П., Шнейдер М.Н. // ТВТ. 1987. Т. 25. В. 5. С. 1008–1010.
- [6] Акимов А.Г., Коба А.В., Липатов Н.И. и др. // Квантовая электроника. 1989. Т. 16. В. 5. С. 938–944.
- [7] Toups M.F., Ernie D.W. // J. Appl. Phys. 1990. V. 68. N 12. P. 6125–6132.
- [8] Surendra M. and Graves D.B. // Appl. Phys. Lett. 1991. V. 59. N 17. P. 2091–2093.
- [9] Smirnov A.S., Tsendin L.D. // IEEE Trans. Plasma Science. 1991. V. 19. N 2. P. 130–140.
- [10] Яценко Н.А. // Изв. РАН Сер. физическая. 1992. Т. 56. В. 12. С. 77–85.
- [11] Яценко Н.А. // ЖТФ. 1988. Т. 58. В. 2. С. 294–301.
- [12] Яценко Н.А. // Инж. физич. журнал. 1992. Т. 62. В. 5. С. 739–752.

Институт проблем механики РАН

Поступило в Редакцию
24 июня 1993 г.